

Tumorregister München



- ▶ Inzidenz und Mortalität
- ▶ Auswahlmatrix
- ▶ Homepage
- ▶ *English*

ICD-10 C76-C80: Sekundäre und unspezifische Lokalisationen

Survival

| | | |
|---------------------|------------|-----------|
| Diagnosejahr | 1988-1997 | 1998-2020 |
| Patienten | 689 | 8 394 |
| Erkrankungen | 690 | 8 402 |
| Fälle in Auswertung | 623 | 4 554 |
| Erstellungsdatum | 14.04.2022 | |
| Datenbankexport | 20.12.2021 | |
| Population | 4,92 Mio. | |



Tumorregister München
Bayerisches Krebsregister - Regionalzentrum München
am Klinikum Großhadern/IBE
Marchioninstr. 15
81377 München
Deutschland

<https://www.tumorregister-muenchen.de>

<https://www.tumorregister-muenchen.de/facts/surv/sC7680G-ICD-10-C76-C80-Sekundaere-und-unspezifische-Lokalisationen-Survival.pdf>

Index der Abbildungen und Tabellen

| Abb./Tab. | | Seite |
|-----------|--|-------|
| 1a | Relatives Überleben nach Diagnosezeitraum (Grafik) | 3 |
| 1b | Überleben nach Diagnosezeitraum (Tabelle) | 3 |
| 2a | Überleben nach Geschlecht (Grafik) | 4 |
| 2b | Überleben nach Geschlecht (Tabelle) | 4 |
| 2c | Konditionales Überleben nach Geschlecht (Grafik) | 5 |
| 2d | Konditionales Überleben nach Geschlecht (Tabelle) | 5 |
| 3a | Beobachtetes Überleben nach Altersgruppe (Grafik) | 6 |
| 3b | Relatives Überleben nach Altersgruppe (Grafik) | 6 |
| 3c | Überleben nach Altersgruppe (Tabelle) | 7 |
| 4a | Relatives Überleben nach Tumorausbreitung (Grafik) | 8 |
| 4b | Überleben nach Tumorausbreitung (Tabelle) | 8 |

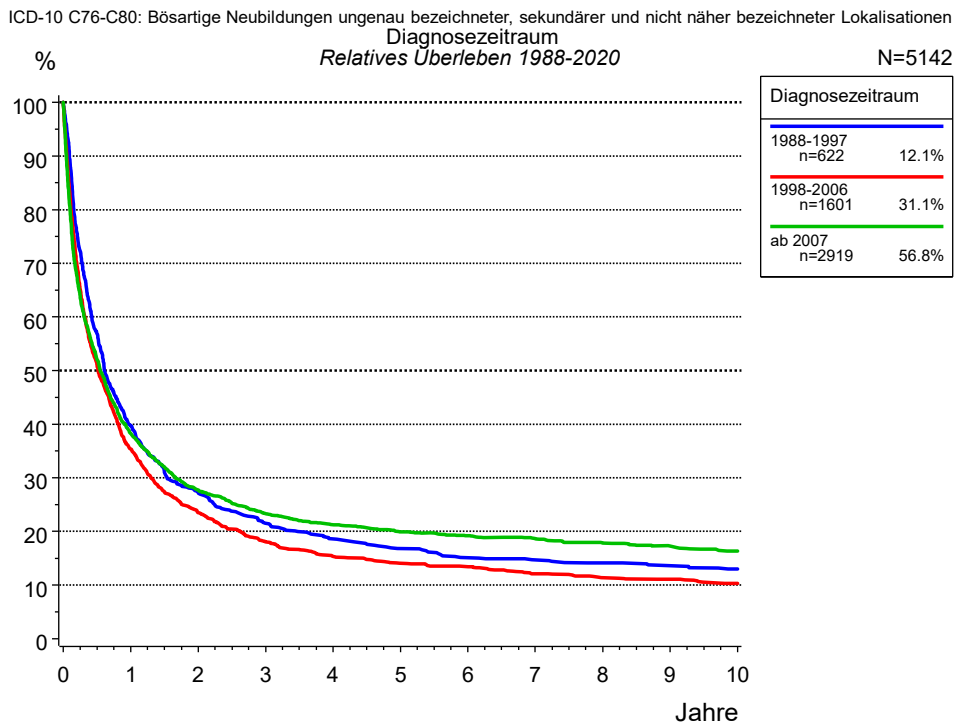


Abb. 1a. Relatives Überleben für Patienten mit Sekundäre und unspezifische Lokalisationen nach Diagnosezeitraum. In der Auswertung befinden sich 5 142 Patienten aus den Diagnosejahrgängen 1988 bis 2020.

Die farbigen Symbole repräsentieren zum Vergleich die Survival-Ergebnisse des SEER-Programms (Surveillance, Epidemiology, and End Results) des National Cancer Institute (NCI) der USA, zusammengefasst für die Diagnosejahrgänge bis .

Eingeschlossen sind alle mit klinischen Daten registrierten Patienten, also keine DCO-Fälle. Die Daten ab 1998 haben mit dieser DCO-Einschränkung einen Bevölkerungsbezug. Die historischen Daten der vorausgehenden Perioden können stark selektiert sein, so dass univariate Vergleiche der dargestellten Zeitperioden nur mit Vorsicht zu interpretieren sind. Die verschiedenen Zeitperioden werden dennoch aufbereitet, um insbesondere den Langzeitverlauf des relativen Überlebens im Vergleich zu anderen Tumoren zugänglich zu machen.

| Jahre | Diagnosezeitraum | | | | | |
|--------|--------------------|--------|---------------------|--------|-------------------|--------|
| | 1988-1997 n=622 | | 1998-2006 n=1601 | | ab 2007 n=2919 | |
| | beob. % | rel. % | beob. % | rel. % | beob. % | rel. % |
| 0 | 100.0 | 100.0 | 100.0 | 100.0 | 100.0 | 100.0 |
| 1 | 38.5 | 39.7 | 34.1 | 35.3 | 37.0 | 38.3 |
| 2 | 25.9 | 27.3 | 22.1 | 23.5 | 26.2 | 27.7 |
| 3 | 19.8 | 21.5 | 16.5 | 18.0 | 21.4 | 23.3 |
| 4 | 16.7 | 18.6 | 13.8 | 15.3 | 19.1 | 21.3 |
| 5 | 14.7 | 16.8 | 12.3 | 14.1 | 17.4 | 20.0 |
| 6 | 12.9 | 15.1 | 11.6 | 13.5 | 16.4 | 19.2 |
| 7 | 12.2 | 14.7 | 10.1 | 12.1 | 15.5 | 18.7 |
| 8 | 11.5 | 14.1 | 9.3 | 11.3 | 14.4 | 17.8 |
| 9 | 10.8 | 13.6 | 8.9 | 11.0 | 13.6 | 17.3 |
| 10 | 10.1 | 12.9 | 8.1 | 10.3 | 12.5 | 16.3 |
| Median | 0.6 | | 0.5 | | 0.5 | |

Tab. 1b. Beobachtetes (beob.) und relatives (rel.) Überleben für Patienten mit Sekundäre und unspezifische Lokalisationen nach Diagnosezeitraum im Zeitraum 1988-2020 (N=5 142).

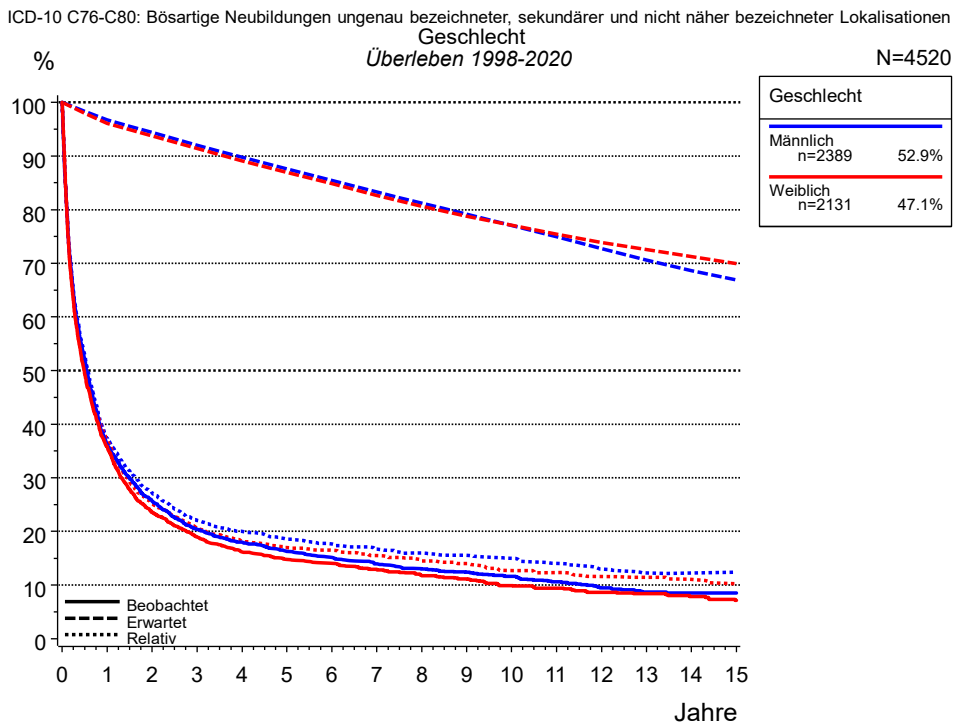


Abb. 2a. Beobachtetes, erwartetes und relatives Überleben für Patienten mit Sekundäre und unspezifische Lokalisationen nach Geschlecht. In der Auswertung befinden sich 4 520 Patienten aus den Diagnosejahrgängen 1998 bis 2020.

| Jahre | Geschlecht | | | |
|--------|--------------------|--------|--------------------|--------|
| | Männlich n=2389 | | Weiblich n=2131 | |
| | beob. % | rel. % | beob. % | rel. % |
| 0 | 100.0 | 100.0 | 100.0 | 100.0 |
| 1 | 36.1 | 37.3 | 35.8 | 37.2 |
| 2 | 25.7 | 27.2 | 23.5 | 25.1 |
| 3 | 20.3 | 22.1 | 18.9 | 20.6 |
| 4 | 18.0 | 20.0 | 16.2 | 18.1 |
| 5 | 16.2 | 18.5 | 14.7 | 17.0 |
| 6 | 15.1 | 17.7 | 14.0 | 16.5 |
| 7 | 13.9 | 16.7 | 12.9 | 15.5 |
| 8 | 13.0 | 16.0 | 11.8 | 14.5 |
| 9 | 12.3 | 15.6 | 11.1 | 14.0 |
| 10 | 11.6 | 15.0 | 9.9 | 12.7 |
| 11 | 10.6 | 14.1 | 9.4 | 12.3 |
| 12 | 9.5 | 13.0 | 8.7 | 11.6 |
| 13 | 8.7 | 12.2 | 8.4 | 11.4 |
| 14 | 8.5 | 12.3 | 7.9 | 11.0 |
| 15 | 8.5 | 12.4 | 7.1 | 10.2 |
| Median | 0.5 | | 0.5 | |

Tab. 2b. Beobachtetes (beob.) und relatives (rel.) Überleben für Patienten mit Sekundäre und unspezifische Lokalisationen nach Geschlecht im Zeitraum 1998-2020 (N=4 520).

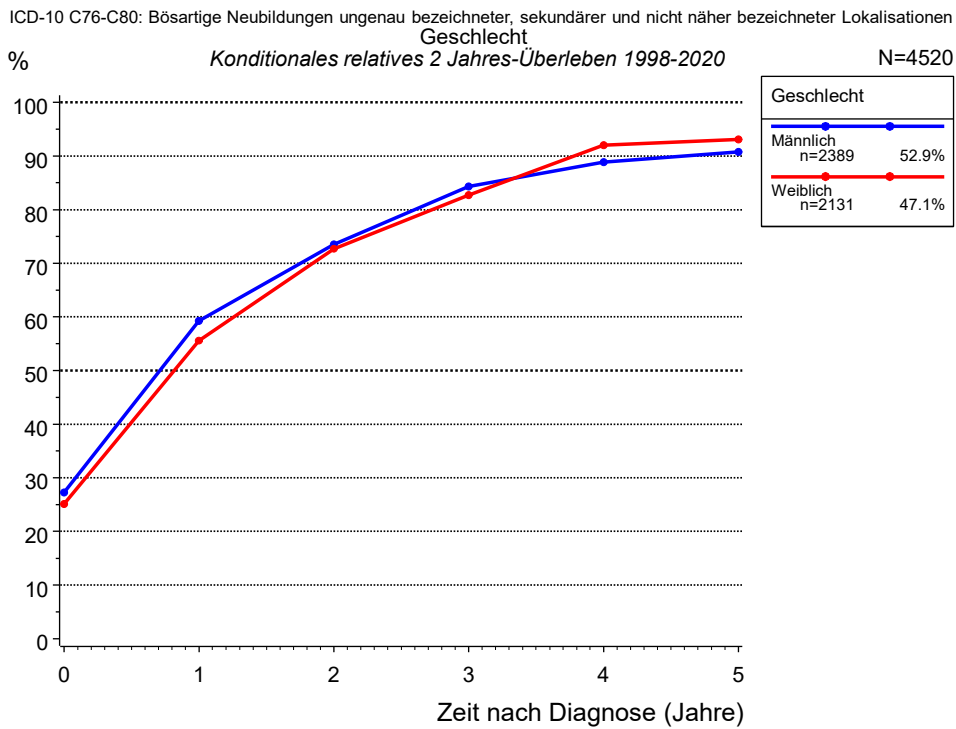


Abb. 2c. Konditionales relatives 2 Jahres-Überleben für Patienten mit Sekundäre und unspezifische Lokalisationen nach Geschlecht. 4 520 von 4 520 Patienten aus den Diagnosejahren 1998 bis 2020 besitzen Angaben zu diesem Merkmal.

| Jahre | Geschlecht | | | |
|-------|------------|--------------------|----------|--------------------|
| | Männlich | | Weiblich | |
| | n | Kond. Surv. % 2 J. | n | Kond. Surv. % 2 J. |
| 0 | 2389 | 27.2 | 2131 | 25.1 |
| 1 | 849 | 59.2 | 747 | 55.5 |
| 2 | 585 | 73.5 | 478 | 72.7 |
| 3 | 431 | 84.3 | 360 | 82.7 |
| 4 | 363 | 88.9 | 291 | 92.0 |
| 5 | 306 | 90.8 | 250 | 93.1 |

Tab. 2d. Konditionales Überleben für Patienten mit Sekundäre und unspezifische Lokalisationen nach Geschlecht im Zeitraum 1998-2020 (N=4 520).

Das konditionale relative Überleben repräsentiert die Überlebenschance z.B. nach 2 oder 5 Jahren im Vergleich zur Normalbevölkerung (=100 %) unter der Bedingung, eine bestimmte Zeit nach Diagnose eines Tumors (x-Achse in Abb. 2a) überlebt zu haben. Damit wird eine Aussage möglich, wie sich das Risiko durch die Tumorerkrankung für ein bestimmtes Patientenkollektiv verringert. So beträgt beispielsweise für Patienten in der Untergruppe Geschlecht=„Männlich“, die mindestens 3 Jahre nach Diagnose des Tumors am Leben sind, die konditionale relative 2 Jahres-Überlebensrate 84.3% (n=431).

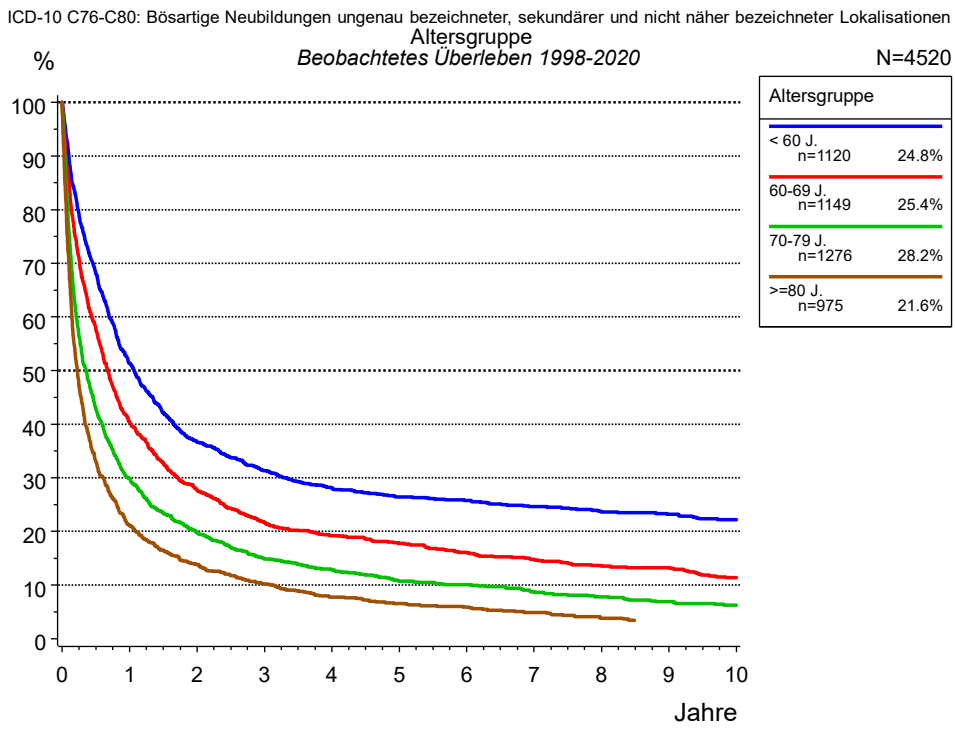


Abb. 3a. Beobachtetes Überleben für Patienten mit Sekundäre und unspezifische Lokalisationen nach Altersgruppe. In der Auswertung befinden sich 4 520 Patienten aus den Diagnosejahrgängen 1998 bis 2020.

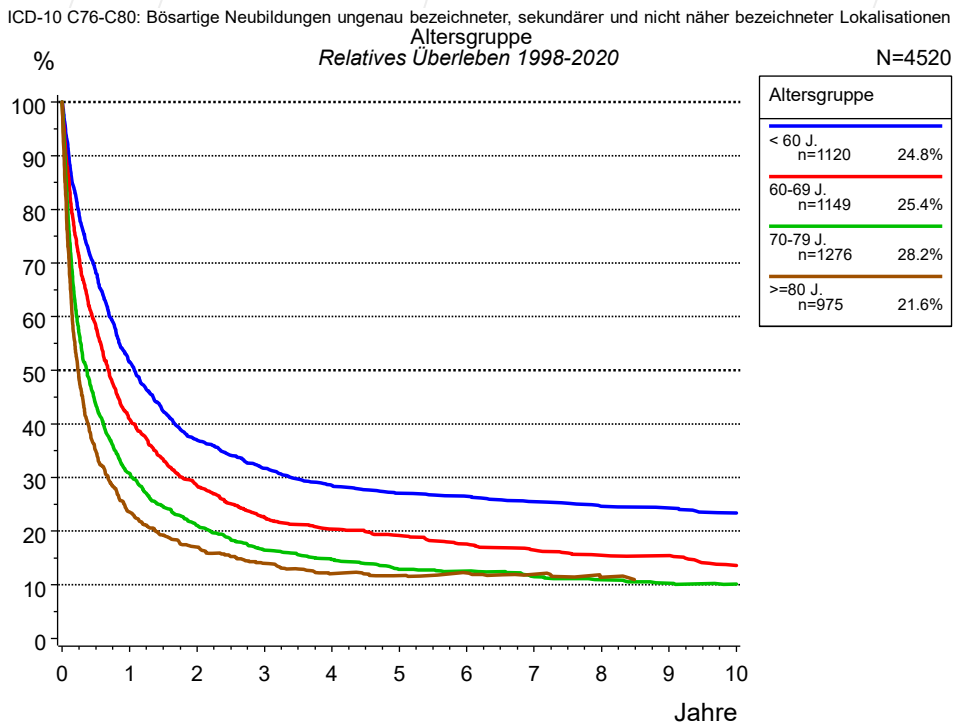


Abb. 3b. Relatives Überleben für Patienten mit Sekundäre und unspezifische Lokalisationen nach Altersgruppe. In der Auswertung befinden sich 4 520 Patienten aus den Diagnosejahrgängen 1998 bis 2020.

| Jahre | Altersgruppe | | | | | | | |
|--------|-------------------|--------|--------------------|--------|--------------------|--------|------------------|--------|
| | < 60 J. n=1120 | | 60-69 J. n=1149 | | 70-79 J. n=1276 | | >=80 J. n=975 | |
| | beob. % | rel. % | beob. % | rel. % | beob. % | rel. % | beob. % | rel. % |
| 0 | 100.0 | 100.0 | 100.0 | 100.0 | 100.0 | 100.0 | 100.0 | 100.0 |
| 1 | 51.3 | 51.5 | 40.4 | 40.9 | 29.9 | 30.8 | 21.1 | 23.6 |
| 2 | 36.7 | 37.0 | 27.7 | 28.4 | 19.8 | 21.1 | 13.8 | 17.0 |
| 3 | 31.3 | 31.7 | 21.6 | 22.5 | 15.0 | 16.4 | 10.2 | 14.0 |
| 4 | 28.1 | 28.5 | 19.2 | 20.4 | 12.8 | 14.7 | 7.7 | 12.1 |
| 5 | 26.4 | 27.0 | 17.8 | 19.1 | 10.7 | 12.9 | 6.6 | 11.7 |
| 6 | 25.7 | 26.5 | 16.1 | 17.6 | 10.0 | 12.6 | 5.9 | 12.2 |
| 7 | 24.6 | 25.5 | 14.8 | 16.5 | 8.8 | 11.5 | 4.9 | 11.9 |
| 8 | 23.6 | 24.7 | 13.7 | 15.5 | 7.8 | 11.0 | 3.8 | 11.4 |
| 9 | 23.2 | 24.3 | 13.3 | 15.4 | 6.9 | 10.3 | | |
| 10 | 22.2 | 23.4 | 11.4 | 13.6 | 6.2 | 10.1 | | |
| Median | 1.1 | | 0.7 | | 0.4 | | 0.2 | |

Tab. 3c. Beobachtetes (beob.) und relatives (rel.) Überleben für Patienten mit Sekundäre und unspezifische Lokalisationen nach Altersgruppe im Zeitraum 1998-2020 (N=4 520).

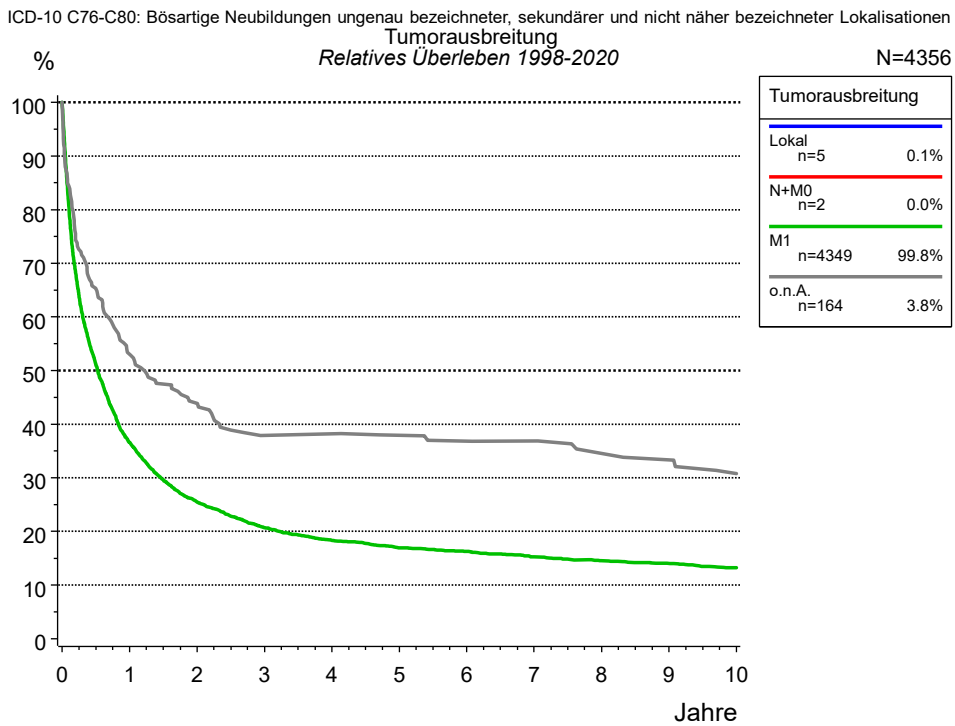


Abb. 4a. Relatives Überleben für Patienten mit Sekundäre und unspezifische Lokalisationen nach Tumorausbreitung. 4 357 von 4 520 Patienten aus den Diagnosejahrgängen 1998 bis 2020 besitzen Angaben zu diesem Merkmal, für 4 356 Personen wurde eine Klassifikation erstellt. Die graue Linie repräsentiert 164 Patienten ohne auswertbare Angaben zum Merkmal Tumorausbreitung (3,6 % von 4 520 Patienten, die übrigen Prozentangaben beziehen sich auf n=4 356). Untergruppen mit Fallzahlen <20 sind nicht in der Grafik aufbereitet.

| Jahre | Tumorausbreitung | | | |
|--------|------------------|--------|-----------------|--------|
| | M1 n=4349 | | o.n.A. n=164 | |
| | beob. % | rel. % | beob. % | rel. % |
| 0 | 100.0 | 100.0 | 100.0 | 100.0 |
| 1 | 35.3 | 36.6 | 50.9 | 53.0 |
| 2 | 24.0 | 25.5 | 41.0 | 43.9 |
| 3 | 19.0 | 20.7 | 34.1 | 37.9 |
| 4 | 16.4 | 18.3 | 34.1 | 38.2 |
| 5 | 14.8 | 17.0 | 32.7 | 37.9 |
| 6 | 13.9 | 16.3 | 31.3 | 36.8 |
| 7 | 12.7 | 15.3 | 30.5 | 36.8 |
| 8 | 11.8 | 14.5 | 27.3 | 34.5 |
| 9 | 11.1 | 14.1 | 26.5 | 33.3 |
| 10 | 10.3 | 13.2 | 23.7 | 30.8 |
| Median | 0.5 | | 1.1 | |

Tab. 4b. Beobachtetes (beob.) und relatives (rel.) Überleben für Patienten mit Sekundäre und unspezifische Lokalisationen nach Tumorausbreitung im Zeitraum 1998-2020 (N=4 356).

Abkürzungen

| | | |
|--------|--|--|
| TRM | Tumorregister München | |
| NCI | National Cancer Institute, USA | |
| SEER | Surveillance, Epidemiology, and End Results, USA | |
| UICC | Union for International Cancer Control, Genf | |
| DCO | Death certificate only | Diagnose ausschließlich aus Todesbescheinigung bekannt |
| k.A. | Keine Angabe | |
| o.n.A. | Ohne nähere Angabe | |
| OS | Overall/Observed Survival | Gesamtüberleben/beobachtetes Überleben (Kaplan-Meier-Schätzer) Beginn: Erstdiagnose Ereignis: Tod (alle Ursachen) |
| RS | Relative Survival | Relatives Überleben, relativ zur „Normalbevölkerung“, Quotient aus beobachtetem und zu erwartendem Überleben (Ederer II-Methode), Schätzung für das tumorspezifische Überleben |
| AS | Assembled Survival | Zusammengesetzte Darstellung des beobachteten, erwarteten, relativen Überlebens |
| CS | Conditional Survival | Konditionales Survival Überlebenswahrscheinlichkeit unter der Bedingung, einen bestimmten Zeitraum überlebt zu haben |
| TTP | Time to Progression | Zeit bis erste Progression Beginn: Erstdiagnose Ereignis (Progression): erste(s) Lokal-, Lymphknotenrezidiv, Metastase oder unspezifische Progression |
| | 1-KM | 1 minus Kaplan-Meier-Schätzer („umgekehrter“ Kaplan-Meier-Schätzer) |
| | CI | Kumulative Inzidenz Tod als konkurrierendes Ereignis (nach Kalbfleisch und Prentice) |
| PPS | Post-Progression Survival | Überleben ab erster Progression (Kaplan-Meier-Schätzer) Beginn (Progression): erste(s) Lokal-, Lymphknotenrezidiv, Metastase oder unspezifische Progression Ereignis: Tod (alle Ursachen) |

Empfohlene Zitierweise

Tumorregister München. Überleben ICD-10 C76-C80: Sekundäre und unspezifische Lokalisationen [Internet]. 2022 [aktualisiert 14.04.2022]. Abrufbar von: <https://www.tumorregister-muenchen.de/facts/surv/sC7680G-ICD-10-C76-C80-Sekundaere-und-unspezifische-Lokalisationen-Survival.pdf>

Autorenrechte

Der Zugang zu den vom Tumorregister München im offenen Internet bereitgestellten Inhalten ist weltweit verfügbar und kostenfrei. Die Dokumente dürfen unter Benennung der Urheberschaft frei heruntergeladen, genutzt, kopiert, gedruckt oder verteilt werden.

Haftungsausschluss

Das Tumorregister München übernimmt keinerlei Gewähr für die Aktualität, Korrektheit, Vollständigkeit oder Qualität der im Internet bereitgestellten Inhalte.